



Universidade do Minho
Escola de Engenharia

Cálculo de Programas

Trabalho Prático (2025/26)

Lic. em Ciências da Computação

Lic. em Engenharia Informática

Grupo G01

a68243 José Pedro Pinheiro da Silva

a106836 João Pedro Delgado Teixeira

a106928 Simão Pedro Pacheco Mendes

Preâmbulo

Em [Cálculo de Programas](#) pretende-se ensinar a programação de computadores como uma disciplina científica. Para isso parte-se de um repertório de *combinadores* que formam uma álgebra da programação e usam-se esses combinadores para construir programas *composicionalmente*, isto é, agregando programas já existentes.

Na sequência pedagógica dos planos de estudo dos cursos que têm esta disciplina, opta-se pela aplicação deste método à programação em [Haskell](#) (sem prejuízo da sua aplicação a outras linguagens funcionais). Assim, o presente trabalho prático coloca os alunos perante problemas concretos que deverão ser implementados em [Haskell](#). Há ainda um outro objectivo: o de ensinar a documentar programas, a validá-los e a produzir textos técnico-científicos de qualidade.

Antes de abordarem os problemas propostos no trabalho, os grupos devem ler com atenção o anexo A onde encontrarão as instruções relativas ao *software* a instalar, etc.

Valoriza-se a escrita de *pouco* código que corresponda a soluções simples e elegantes que utilizem os combinadores de ordem superior estudados na disciplina.

Avaliação. Faz parte da avaliação do trabalho a sua defesa por parte dos elementos de cada grupo. Estes devem estar preparados para responder a perguntas sobre *qualquer* dos problemas deste enunciado. A prestação *individual* de cada aluno nessa defesa oral será uma componente importante e diferenciadora da avaliação.

Problema 1

Uma serialização (ou travessia) de uma árvore é uma sua representação sob a forma de uma lista. Na biblioteca *BTree* encontram-se as funções de serialização *inordt*, *preordt* e *postordt*, que fazem as travessias *in-order*, *pre-order* e *post-order*, respectivamente. Todas essas travessias são catamorfismos que percorrem a árvore argumento em regime *depth-first*.

Pretende-se agora uma função *bforder* que faça a travessia em regime *breadth-first*, isto é, por níveis. Por exemplo, para a árvore t_1 dada em anexo e mostrada na figura a seguir,



a função deverá dar a lista

[5, 3, 7, 1, 4, 6, 8]

em que se vê como os níveis 5, depois 3, 7 e finalmente 1, 4, 6, 8 foram percorridos.

Pretendemos propor duas versões dessa função:

1. Uma delas envolve um catamorfismo de *BTrees*:

```
bfsLevels :: BTTree a → [a]  
bfsLevels = concat · levels
```

Complete a definição desse catamorfismo:

```
levels :: BTTree a → [[a]]  
levels = (λ glevels)()
```

2. A segunda proposta,

```
bft :: BTTree a → [a]
```

deverá basear-se num anamorfismo de listas.

Sugestão: estudar o artigo [3] cujo PDF está incluído no material deste trabalho. Quando fizer testes ao seu código pode, se desejar, usar funções disponíveis na biblioteca *Exp* para visualizar as árvores em GraphViz (formato .dot).

Justifique devidamente a sua resolução, que deverá vir acompanhada de diagramas explicativos. Como já se disse, valoriza-se a escrita de *pouco* código que corresponda a soluções simples e elegantes que utilizem os combinadores de ordem superior estudados na disciplina.

Problema 2

Considere a seguinte função em Haskell:

```
f x = wrapper · worker where  
    wrapper = head  
    worker 0 = start x  
    worker (n + 1) = loop x (worker n)  
    loop x [s, h, k, j, m] =  
        [h / k + s, x ↑ 2 * h, k * j, j + m, m + 8]  
    start x = [x, x ↑ 3, 6, 20, 22]
```

Pode-se provar pela lei de recursividade mútua que $f x n$ calcula o seno hiperbólico de x , $\sinh x$, para n aproximações da sua série de Taylor. Faça a derivação da função dada a partir da referida série de Taylor, apresentando todos os cálculos justificativos, tal como se faz para outras funções no capítulo respectivo do texto base desta UC [4].

Problema 3

Quem em Braga observar, ao fim da tarde, o tráfego onde a Avenida Clairmont Fernand se junta à N101, aproximadamente na coordenada [41°33'46.8"N 8°24'32.4"W](#) – ver as setas da figura que se segue – reparará nas sequências imparáveis (infinitas!) de veículos provenientes dessas vias de circulação.

Mas também irá observar um comportamento interessante por parte dos condutores desses veículos: por regra, *cada carro numa via deixa passar, à sua frente, exactamente outro carro da outra via*.



Este comportamento *civilizado* chama-se *fair-merge* (ou *fair-interleaving*) de duas sequências infinitas, também designadas *streams* em ciência da computação. Seja dado o tipo dessas sequências em Haskell,

```
data Stream a = Cons (a, Stream a) deriving Show
```

para o qual se define também:

```
out (Cons (x, xs)) = (x, xs)
```

O referido comportamento civilizado pode definir-se, em Haskell, da forma seguinte:¹

```
fair_merge :: (Stream a, Stream a) + (Stream a, Stream a) → Stream a
fair_merge = [h, k] where
  h (Cons (x, xs), y) = Cons (x, k (xs, y))
  k (x, Cons (y, ys)) = Cons (y, h (x, ys))
```

Defina *fair_merge* como um **anamorfismo** de *Streams*, usando o combinador

```
[(g)] = Cons · (id × [(g)]) · g
```

e a seguinte estratégia:

- Derivar a lei **dual** da recursividade mútua,

$$[f, g] = [(h, k)] \equiv \begin{cases} out \cdot f = F[f, g] \cdot h \\ out \cdot g = F[f, g] \cdot k \end{cases} \quad (1)$$

tal como se fez, nas aulas, para a que está no formulário.

- Usar (1) na resolução do problema proposto.

Justificar devidamente a resolução, que deverá vir acompanhada de diagramas explicativos.

Problema 4

Como se sabe, é possível pensarmos em catamorfismos, anamorfismos etc *probabilísticos*, quer dizer, programas recursivos que dão distribuições como resultados. Por exemplo, podemos pensar num combinador

```
pcataList :: ((()) + (a, b) → Dist b) → [a] → Dist b
```

¹ O facto das sequências serem infinitas não nos deve preocupar, pois em Haskell isso é lidado de forma transparente por [lazy evaluation](#).

que é muito parecido com

$$(\cdot) :: ((a, b) \rightarrow b) \rightarrow [a] \rightarrow b$$

da biblioteca [List](#). A principal diferença é que o gene de *pcataList* é uma função probabilística.

Como exemplo de utilização, recorde-se que $([zero, add])$ soma todos os elementos da lista argumento, por exemplo:

$$([zero, add]) [20, 10, 5] = 35.$$

Considere-se agora a função *padd* (adição probabilística) que, com probabilidade 90% soma dois números e com probabilidade 10% os subtrai:

$$padd(a, b) = D[(a + b, 0.9), (a - b, 0.1)]$$

Se se correr

$$d4 = pcataList [pzero, padd] [20, 10, 5] \text{ where } pzero = return \cdot zero$$

obter-se-á:

35	81.0%
25	9.0%
5	9.0%
15	1.0%

Com base neste exemplo, resolva o seguinte

Problema: Uma unidade militar pretende enviar uma mensagem urgente a outra, mas tem o aparelho de telegrafia meio avariado. Por experiência, o telegrafista sabe que a probabilidade de uma palavra se perder (não ser transmitida) é 5%; e que, no final de cada mensagem, o aparelho envia o código "stop", mas (por estar meio avariado), falha 10% das vezes.

Qual a probabilidade de a palavra "atacar" da mensagem

words "Vamos atacar hoje"

se perder, isto é, o resultado da transmissão ser ["Vamos", "hoje", "stop"]? E a de seguirem todas as palavras, mas faltar o "stop" no fim? E a da transmissão ser perfeita?

Responda a estas perguntas encontrando gene tal que

transmitir = *pcataList* *gene*

descreve o comportamento do aparelho. Justificar devidamente a resolução, que deverá vir acompanhada de diagramas explicativos.

Anexos

A Natureza do trabalho a realizar

Este trabalho teórico-prático deve ser realizado por grupos de 3 alunos. Os detalhes da avaliação (datas para submissão do relatório e sua defesa oral) são os que forem publicados na [página da disciplina](#) na internet.

Recomenda-se uma abordagem participativa dos membros do grupo em **todos** os exercícios do trabalho, para assim poderem responder a qualquer questão colocada na *defesa oral* do relatório.

Para cumprir de forma integrada os objectivos do trabalho vamos recorrer a uma técnica de programação dita “[literária](#)” [2], cujo princípio base é o seguinte:

Um programa e a sua documentação devem coincidir.

Por outras palavras, o **código fonte** e a **documentação** de um programa deverão estar no mesmo ficheiro.

O ficheiro `cp2526t.pdf` que está a ler é já um exemplo de [programação literária](#): foi gerado a partir do texto fonte `cp2526t.lhs`¹ que encontrará no [material pedagógico](#) desta disciplina descompactando o ficheiro `cp2526t.zip`.

Como se mostra no esquema abaixo, de um único ficheiro (*lhs*) gera-se um PDF ou faz-se a interpretação do código [Haskell](#) que ele inclui:



Vê-se assim que, para além do [GHCi](#), serão necessários os executáveis [pdflatex](#) e [lhs2TeX](#). Para facilitar a instalação e evitar problemas de versões e conflitos com sistemas operativos, é recomendado o uso do [Docker](#) tal como a seguir se descreve.

B Docker

Recomenda-se o uso do [container](#) cuja imagem é gerada pelo [Docker](#) a partir do ficheiro `Dockerfile` que se encontra na diretoria que resulta de descompactar `cp2526t.zip`. Este [container](#) deverá ser usado na execução do [GHCi](#) e dos comandos relativos ao [LATEX](#). (Ver também a `Makefile` que é disponibilizada.)

Após [instalar o Docker](#) e descargar o referido zip com o código fonte do trabalho, basta executar os seguintes comandos:

```
$ docker build -t cp2526t .
$ docker run -v ${PWD}:/cp2526t -it cp2526t
```

NB: O objetivo é que o container seja usado *apenas* para executar o [GHCi](#) e os comandos relativos ao [LATEX](#). Deste modo, é criado um *volume* (cf. a opção `-v ${PWD}:/cp2526t`) que permite que a diretoria em que se encontra na sua máquina local e a diretoria `/cp2526t` no [container](#) sejam partilhadas.

Pretende-se então que visualize/editie os ficheiros na sua máquina local e que os compile no [container](#), executando:

¹ O sufixo ‘lhs’ quer dizer *literate Haskell*.

```
$ lhs2TeX cp2526t.lhs > cp2526t.tex  
$ pdflatex cp2526t
```

[lhs2TeX](#) é o pre-processador que faz “pretty printing” de código Haskell em [LaTeX](#) e que faz parte já do [container](#). Alternativamente, basta executar

```
$ make
```

para obter o mesmo efeito que acima.

Por outro lado, o mesmo ficheiro cp2526t.lhs é executável e contém o “kit” básico, escrito em [Haskell](#), para realizar o trabalho. Basta executar

```
$ ghci cp2526t.lhs
```

Abra o ficheiro cp2526t.lhs no seu editor de texto preferido e verifique que assim é: todo o texto que se encontra dentro do ambiente

```
\begin{code}  
...  
\end{code}
```

é seleccionado pelo [GHCi](#) para ser executado.

C Em que consiste o TP

Em que consiste, então, o *relatório* a que se referiu acima? É a edição do texto que está a ser lido, preenchendo o anexo G com as respostas. O relatório deverá conter ainda a identificação dos membros do grupo de trabalho, no local respectivo da folha de rosto.

Para gerar o PDF integral do relatório deve-se ainda correr os comando seguintes, que actualizam a bibliografia (com [BibTeX](#)) e o índice remissivo (com [makeindex](#)),

```
$ bibtex cp2526t.aux  
$ makeindex cp2526t.idx
```

e recompilar o texto como acima se indicou. (Como já se disse, pode fazê-lo correndo simplesmente [make](#) no [container](#).)

No anexo F disponibiliza-se algum código [Haskell](#) relativo aos problemas que são colocados. Esse anexo deverá ser consultado e analisado à medida que isso for necessário.

Deve ser feito uso da [programação literária](#) para documentar bem o código que se desenvolver, em particular fazendo diagramas explicativos do que foi feito e tal como se explica no anexo D que se segue.

D Como exprimir cálculos e diagramas em LaTeX/lhs2TeX

Como primeiro exemplo, estudar o texto fonte ([lhs](#)) do que está a ler¹ onde se obtém o efeito seguinte:²

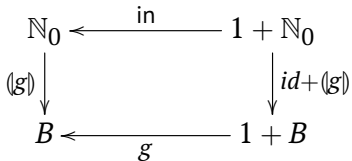
$$\begin{aligned} id &= \langle f, g \rangle \\ &\equiv \{ \text{ universal property } \} \end{aligned}$$

¹ Procure e.g. por "sec:diagramas".

² Exemplos tirados de [4].

$$\begin{aligned}
 & \left\{ \begin{array}{l} \pi_1 \cdot id = f \\ \pi_2 \cdot id = g \end{array} \right. \\
 \equiv & \quad \{ \text{identity} \} \\
 & \left\{ \begin{array}{l} \pi_1 = f \\ \pi_2 = g \end{array} \right. \\
 \square
 \end{aligned}$$

Os diagramas podem ser produzidos recorrendo à package [xymatrix](#), por exemplo:



E O mónade das distribuições probabilísticas

Mónades são functores com propriedades adicionais que nos permitem obter efeitos especiais em programação. Por exemplo, a biblioteca [Probability](#) oferece um mónade para abordar problemas de probabilidades. Nesta biblioteca, o conceito de distribuição estatística é captado pelo tipo

newtype Dist $a = D \{ unD :: [(a, ProbRep)] \}$ (2)

em que $ProbRep$ é um real de 0 a 1, equivalente a uma escala de 0 a 100%.

Cada par (a, p) numa distribuição $d :: \text{Dist } a$ indica que a probabilidade de a é p , devendo ser garantida a propriedade de que todas as probabilidades de d somam 100%. Por exemplo, a seguinte distribuição de classificações por escalões de A a E ,



será representada pela distribuição

$d1 :: \text{Dist Char}$
 $d1 = D [('A', 0.02), ('B', 0.12), ('C', 0.29), ('D', 0.35), ('E', 0.22)]$

que o [GHCi](#) mostrará assim:

```

'D' 35.0%
'C' 29.0%
'E' 22.0%
'B' 12.0%
'A' 2.0%

```

É possível definir geradores de distribuições, por exemplo distribuições *uniformes*,

$d2 = uniform (\text{words "Uma frase de cinco palavras"})$

isto é

```

"Uma" 20.0%
"cinco" 20.0%
"de" 20.0%
"frase" 20.0%
"palavras" 20.0%

```

distribuição *normais*, eg.

$$d3 = \text{normal}[10..20]$$

etc.¹ Dist forma um **mónade** cuja unidade é $\text{return } a = D [(a, 1)]$ e cuja composição de Kleisli é (simplificando a notação)

$$(f \bullet g) a = [(y, q * p) \mid (x, p) \leftarrow g a, (y, q) \leftarrow f x]$$

em que $g : A \rightarrow \text{Dist } B$ e $f : B \rightarrow \text{Dist } C$ são funções **monádicas** que representam *computações probabilísticas*.

Este mónade é adequado à resolução de problemas de *probabilidades e estatística* usando programação funcional, de forma elegante e como caso particular da programação monádica.

F Código fornecido

Problema 1

Árvores exemplo:

```

t1 :: BTTree Int
t1 = Node (5, (Node (3, (Node (1, (Empty, Empty)), Node (4, (Empty, Empty)))), Node (7, (Node (6, (Empty, Empty)), Node (8, (Empty, Empty)))))))

t2 :: BTTree Int
t2 =
  node 1
    (node 2 (node 4 Empty Empty) (node 5 Empty Empty))
    (node 3 (node 6 Empty Empty) (node 7 Empty Empty))

t3 :: BTTree Char
t3 =
  node 'A'
    (node 'B' (node 'C' (node 'D' Empty Empty) Empty) Empty)
    (node 'E' Empty Empty)

t4 :: BTTree Char
t4 =
  node 'A'
    (node 'B' (node 'C' (node 'D' Empty Empty) Empty) Empty)
    Empty

t5 :: BTTree Int
t5 =
  node 1

```

¹ Para mais detalhes ver o código fonte de [Probability](#), que é uma adaptação da biblioteca [PFP](#) (“Probabilistic Functional Programming”). Para quem quiser saber mais recomenda-se a leitura do artigo [1].

```

(node 2 (node 4 Empty Empty) Empty)
(node 3 Empty (node 5 (node 6 Empty Empty) Empty))
node a b c = Node (a, (b, c))

```

G Soluções dos alunos

Os alunos devem colocar neste anexo as suas soluções para os exercícios propostos, de acordo com o “layout” que se fornece. Não podem ser alterados os nomes ou tipos das funções dadas, mas pode ser adicionado texto ao anexo, bem como diagramas e/ou outras funções auxiliares que sejam necessárias.

Importante: Não pode ser alterado o texto deste ficheiro fora deste anexo.

Problema 1

Introdução e Análise do Problema

A travessia em largura (*Breadth-First Search* – BFS) constitui um desafio clássico no paradigma da programação funcional. Enquanto as travessias em profundidade (*Depth-First Search* – DFS) emergem naturalmente da estrutura indutiva dos tipos de dados algébricos, com o processamento de cada ramo na totalidade antes da transição para o seguinte, a BFS exige uma estratégia de processamento transversal de modo a visitar os nós por níveis de profundidade (camada a camada).

Para a definição da estrutura de dados:

```
data BTee a = Empty | Node (a, (BTee a, BTee a)) deriving Show
```

A manipulação desta estrutura é efetuada através dos isomorfismos *inBTee* e *outBTee*, que respetivamente montam e desmontam a árvore de acordo com a sua assinatura functorial:

```

inBTee :: () + (b, (BTee b, BTee b)) → BTee b
inBTee = [Empty, Node]
outBTee :: BTee a → () + (a, (BTee a, BTee a))
outBTee Empty = i1 ()
outBTee (Node (a, (t1, t2))) = i2 (a, (t1, t2))

```

onde é definido o functor:

$$\begin{cases} FX = 1 + A \times X^2 \\ Ff = id + id \times f^2 \end{cases} \quad (3)$$

Exploramos a dualidade entre o catamorfismo e o anamorfismo na realização de uma travessia BFS. Propomos, assim, duas soluções distintas para o problema:

1. **Catamorfismo:** Consome a estrutura da árvore para gerar uma representação intermédia estratificada por níveis, tipificada por uma lista de listas ([[a]]).
2. **Anamorfismo:** Gera a sequência de visita a partir de um estado que simula uma fila de espera (FIFO), o que modela o comportamento dinâmico da travessia.

Procurou-se definir as soluções recorrendo ao máximo de primitivas *pointfree* possível, com o uso dos combinadores e operadores fornecidos pela equipa docente no contexto do cálculo de programas.

1. Solução via Catamorfismo

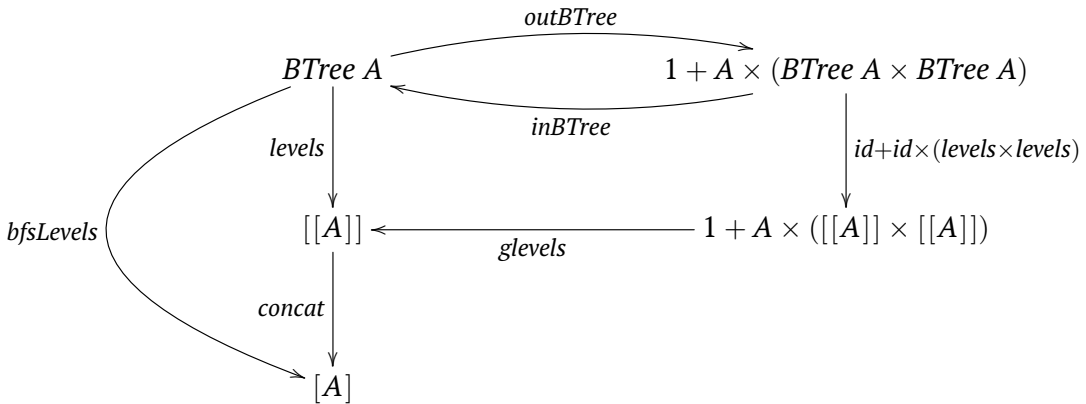
A análise do problema iniciou-se com o estudo da base de código fornecida pela equipa docente:

```
bfsLevels :: BTree a → [a]
bfsLevels = concat · levels
levels :: BTree a → [[a]]
levels = (glevels)
```

A função *bfsLevels* constitui o ponto de entrada e saída para o processamento da *BTree a*. Esta utiliza a função predefinida *concat*, que recebe a estrutura estratificada produzida pelo catamorfismo e aglutina os vários níveis numa lista única.

A função *levels* tem como objetivo processar uma *BTree* para gerar uma lista de listas ($[[a]]$), onde cada sub-lista de índice k contém exclusivamente os elementos que residem na profundidade k da árvore original, ordenados do topo para a base.

Formalmente, *bfslevels* define-se como a composição de uma concatenação e um catamorfismo de árvores binárias, cuja tipagem e estrutura recursiva são descritas pelo seguinte diagrama:



Análise do gene *glevels*: O gene deste catamorfismo especifica a reconstrução dos níveis da árvore a partir das sub-estruturas já processadas:

- **Caso Base ($i_1 ()$):** Uma árvore vazia resulta numa lista de níveis vazia (*nil*), representada por uma lista de listas sem elementos ($[]$).
- **Caso Recursivo ($i_2 (a, (ls, rs))$):** A raiz a é isolada como o nível inicial através de *singl a*. Este nível é então colocado à cabeça (via *cons*) da estrutura resultante da fusão das sub-árvores esquerda (*ls*) e direita (*rs*), as quais são combinadas através da função auxiliar *mergeLevels*.

O resultado final do gene é a aglutinação destes componentes numa estrutura de lista de listas ($[[a]]$), o que preserva a hierarquia por níveis necessária para o achatamento final pela função *concat*.

A função *mergeLevels* é o componente crítico desta abordagem. Esta opera como uma generalização do combinador *zipWith* ($++$); contudo, ao contrário do *zipWith* definido na linguagem Haskell, esta preserva a cauda da estrutura mais profunda caso a árvore não seja balanceada. Desta forma, garante-se que nenhum nível é descartado durante a fusão dos ramos.

A implementação em Haskell de *glevels* e da respetiva auxiliar é a seguinte:

```
glevels :: () + (a, ([[a]], [[a]])) → [[a]]
glevels = [nil, cons · (singl × mergeLevels)]
```

where

```

 $mergeLevels :: ([[a]], [[a]]) \rightarrow [[a]]$ 
 $mergeLevels ([]), ys) = ys$ 
 $mergeLevels (xs, []) = xs$ 
 $mergeLevels ((x : xs), (y : ys)) = cons (\text{conc} (x, y), mergeLevels (xs, ys))$ 

```

2. Solução via Anamorfismo: *bft*

A segunda solução aborda a BFS como um processo de produção de uma lista a partir de um estado dinâmico. O estado interno é definido como uma **floresta** ($\text{State} = [BTree\ a]$), que assume o papel de uma fila de espera (*FIFO*).

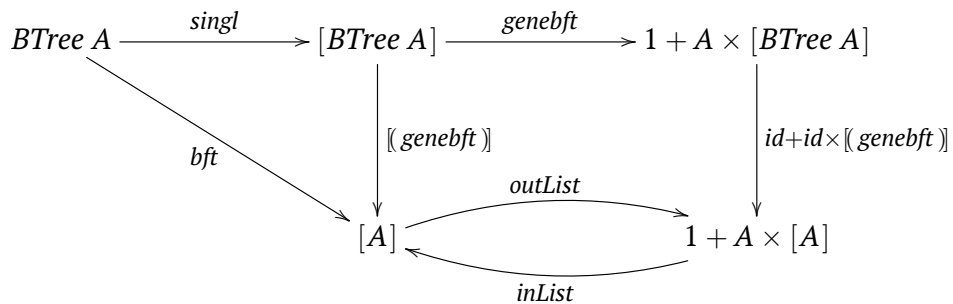
A função *bft* define-se como um anamorfismo de listas, cujo comportamento é regido pelo gene *genebft*:

```

bft ::  $BTree\ a \rightarrow [a]$ 
bft =  $\llbracket \text{genebft} \rrbracket \cdot singl$ 

```

O diagrama seguinte ilustra a transição de estados e a geração da sequência de visita:



Análise do gene *genebft*: O gene estabelece a gestão da fila de modo a assegurar a ordem de visita transversal:

1. **Condição de Paragem:** Perante uma fila vazia, o anamorfismo termina ($i_1 ()$).

2. **Processamento da Cabeça:** A análise da primeira árvore da fila determina o passo seguinte:

- Caso se trate de uma árvore vazia (*Empty*), o processo ignora este elemento e prossegue de forma recursiva com o restante conteúdo da fila.
- Caso se trate de um nó ($(Node\ (a, (l, r)))$), o valor a é emitido para a estrutura de saída. As sub-árvores l e r são obrigatoriamente adicionadas ao **fim** da fila.

Esta inserção no final da estrutura (concatenação) garante a semântica de uma fila de espera, o que assegura a visita de todos os nós de um nível k antes do início do processamento de qualquer nó pertencente ao nível $k + 1$.

A implementação do gene *genebft* em Haskell reflete esta lógica de manipulação de estados:

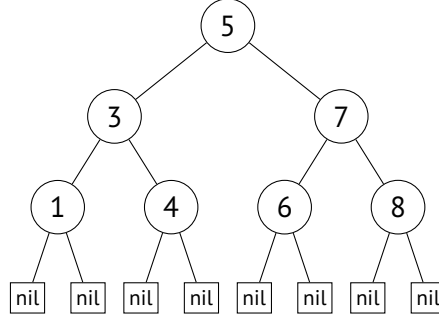
```

genebft ::  $[BTree\ a] \rightarrow () + (a, [BTree\ a])$ 
genebft [] =  $i_1 ()$ 
genebft (h : t) = case outBTree h of
     $i_1 () \rightarrow genebft\ t$ 
     $i_2\ (a, (l, r)) \rightarrow i_2\ (a, t ++ [l, r])$ 

```

Exemplo de Execução e Verificação

Para a validação da equivalência funcional entre o catamorfismo (*levels*) e o anamorfismo ($\langle\langle genebft \rangle\rangle$), procede-se à análise da execução sobre a árvore de teste t_1 , representada por:



Catamorfismo (*levels*): A abordagem catamórfica processa a árvore de forma *bottom-up*. O gene *glevels* combina a raiz de cada sub-árvore com o resultado da fusão dos níveis dos seus ramos. Esta fusão é efetuada pela função *mergeLevels*, que aglutina listas de elementos ao mesmo nível de profundidade:

1. **Processamento das Folhas (ex: nó 1):** O catamorfismo recebe *Empty* em ambos os ramos, o que resulta em $\langle\langle \rangle\rangle$. A aplicação de *mergeLevels* produz $\langle\langle \rangle\rangle$. O gene acrescenta a raiz, o que resulta em $\langle\langle 1 : \langle\langle \rangle\rangle = \langle\langle [1] \rangle\rangle \rangle$.
2. **Nível Intermédio (ex: nó 3):** As sub-árvores esquerda e direita já foram processadas para $\langle\langle [1] \rangle\rangle$ e $\langle\langle [4] \rangle\rangle$, respectivamente.
 - $mergeLevels (\langle\langle [1] \rangle\rangle, \langle\langle [4] \rangle\rangle) \rightarrow \langle\langle [1, 4] \rangle\rangle$.
 - O gene prefixa a raiz 3: $\langle\langle 3 : \langle\langle [1, 4] \rangle\rangle = \langle\langle [3], [1, 4] \rangle\rangle \rangle$
3. **Nível Intermédio (ex: nó 7):** De forma análoga, com os resultados $\langle\langle [6] \rangle\rangle$ e $\langle\langle [8] \rangle\rangle$:
 - $mergeLevels (\langle\langle [6] \rangle\rangle, \langle\langle [8] \rangle\rangle) \rightarrow \langle\langle [6, 8] \rangle\rangle$.
 - O gene prefixa a raiz 7: $\langle\langle 7 : \langle\langle [6, 8] \rangle\rangle = \langle\langle [7], [6, 8] \rangle\rangle \rangle$
4. **Resultado Final (*levels t₁*):** A raiz principal 5 combina os resultados dos dois ramos anteriores:
 - $mergeLevels (\langle\langle [3], [1, 4] \rangle\rangle, \langle\langle [7], [6, 8] \rangle\rangle) \rightarrow \langle\langle [3, 7], [1, 4, 6, 8] \rangle\rangle$.
 - O gene finaliza com a raiz 5: $\langle\langle 5 : \langle\langle [3, 7], [1, 4, 6, 8] \rangle\rangle = \langle\langle [5], [3, 7], [1, 4, 6, 8] \rangle\rangle \rangle$.

A aplicação final de *concat* lineariza esta estrutura estratificada e produz a sequência: $[5, 3, 7, 1, 4, 6, 8]$.

Anamorfismo ($\langle\langle bft \rangle\rangle$): O anamorfismo opera de forma iterativa sobre uma fila de espera (*FIFO*), onde o estado é representado por uma floresta (*State* = $\langle\langle BTree a \rangle\rangle$). O processo desenrola-se através do consumo sucessivo do primeiro elemento da fila e da injeção dos seus descendentes no final da mesma:

1. **Estado Inicial (Fila):** $[t_1]$
 - O gene analisa a raiz de t_1 (valor 5) e emite-a para a lista de saída.
 - As sub-árvores t_3 (esquerda) e t_7 (direita) são colocadas no fim da fila (vazia nesta fase).
2. **Estado 1 (Fila):** $[t_3, t_7]$
 - Consumo de t_3 (valor 3).
 - Os descendentes t_1 e t_4 são concatenados ao final da fila existente (t_7).

- **Nova Fila:** $[t7, t_1, t_4]$.
3. **Estado 2 (Fila):** $[t7, t_1, t_4]$
- Consumo de $t7$ (valor 7).
 - Os descendentes $t6$ e $t8$ são colocados após t_4 .
 - **Nova Fila:** $[t_1, t_4, t6, t8]$.
4. **Estados Seguintes (Folhas):** A fila contém agora apenas nós cujos descendentes são *Empty*.
- Para cada nó $(1, 4, 6, 8)$, o valor é emitido e dois elementos *Empty* são adicionados à fila.
 - Perante um elemento *Empty*, o gene descarta-o e prossegue de imediato para o próximo nó, sem emissão de valor, até à exaustão total da fila.

O resultado final é a sequência linear $[5, 3, 7, 1, 4, 6, 8]$, onde a ordem de emissão corresponde estritamente à profundidade dos nós na árvore original.

Conclusão da Verificação: A análise demonstra que ambos os processos convergem para o mesmo resultado linear. Enquanto o catamorfismo organiza a informação por níveis de profundidade antes da junção, o anamorfismo explora a árvore através da gestão dinâmica de uma fila. Esta equivalência valida a complementaridade entre a desconstrução estrutural e a geração comportamental.

Validação exaustiva

Para validar a robustez da implementação, comparamos os resultados produzidos por *bfsLevels* e *bft* com os valores esperados para as árvores de teste t_1 a t_5 :

```

exp_t1 :: [Int]
exp_t1 = [5, 3, 7, 1, 4, 6, 8]
exp_t2 :: [Int]
exp_t2 = [1, 2, 3, 4, 5, 6, 7]
exp_t3 :: [Char]
exp_t3 = ['A', 'B', 'E', 'C', 'D']
exp_t4 :: [Char]
exp_t4 = ['A', 'B', 'C', 'D']
exp_t5 :: [Int]
exp_t5 = [1, 2, 3, 4, 5, 6]
test_t1 = bfsLevels t1 ≡ exp_t1 ∧ bft t1 ≡ exp_t1
test_t2 = bfsLevels t2 ≡ exp_t2 ∧ bft t2 ≡ exp_t2
test_t3 = bfsLevels t3 ≡ exp_t3 ∧ bft t3 ≡ exp_t3
test_t4 = bfsLevels t4 ≡ exp_t4 ∧ bft t4 ≡ exp_t4
test_t5 = bfsLevels t5 ≡ exp_t5 ∧ bft t5 ≡ exp_t5
tests_P1 :: [(String, Bool)]
tests_P1 =
  [("t1", test_t1)
  ,("t2", test_t2)
  ,("t3", test_t3)
  ,("t4", test_t4)
  ,("t5", test_t5)
  ]

```

```

all_tests_P1 :: Bool
all_tests_P1 = and (map π₂ tests_P1)

```

A execução em GHCI confirma o sucesso de todos os testes, resultando em True para a função `all_tests_P1`. Desta forma, verifica-se que ambas as definições produzem a travessia breadth-first correta.

Problema 2

Introdução e objetivo

Pretende-se justificar (derivar) a função Haskell fornecida no enunciado a partir da série de Taylor de $\sinh x$, de modo a explicar o significado de cada componente do estado e provar, por indução, que a função calculada coincide com as somas parciais dessa série.

A função dada é:

```

f x = wrapper · worker where
  wrapper = head
  worker 0 = start x
  worker (n + 1) = loop x (worker n)
  loop x [s, h, k, j, m] =
    [h / k + s, x ↑ 2 * h, k * j, j + m, m + 8]
  start x = [x, x ↑ 3, 6, 20, 22]

```

Como `wrapper = head`, temos imediatamente:

$$f x n = \text{head}(\text{worker } n).$$

Logo, basta compreender e justificar o primeiro componente do estado $[s, h, k, j, m]$.

1. Série de Taylor de $\sinh x$ e somas parciais

Recorda-se a expansão de Taylor em torno de 0:

$$\sinh x = x + \frac{x^3}{3!} + \frac{x^5}{5!} + \frac{x^7}{7!} + \dots = \sum_{i=0}^{\infty} \frac{x^{2i+1}}{(2i+1)!}.$$

A aproximação com n iterações (ou n passos de refinamento) é a soma parcial

$$S_n(x) = \sum_{i=0}^n \frac{x^{2i+1}}{(2i+1)!}.$$

O objetivo passa a ser provar que:

$$f x n = S_n(x).$$

2. Ideia do algoritmo: acumular a soma e gerar o próximo termo

O cálculo de $S_n(x)$ pode ser visto como um processo iterativo:

- manter um acumulador s com a soma já obtida;

- em cada passo adicionar o próximo termo da série;
- atualizar esse “próximo termo” para o passo seguinte.

No código, essa lógica está explícita na primeira componente de loop:

$$s' = s + \frac{h}{k}.$$

Isto sugere a interpretação:

$\frac{h}{k}$ é o próximo termo a acrescentar à soma s .

Assim, o estado $[s, h, k, j, m]$ foi escolhido para que:

1. s seja a soma parcial já computada;
2. $\frac{h}{k}$ seja o termo seguinte da série;
3. os restantes componentes (j, m) permitam atualizar k (o fatorial) de forma barata, sem recalcular fatoriais do início.

3. Derivação das Leis de Atualização

Para justificar formalmente os valores do estado e as constantes, derivam-se as recorrências matematicamente.

Seja $t_i = \frac{x^{2i+1}}{(2i+1)!}$ o termo geral. Calcula-se a razão entre o termo seguinte (t_{i+1}) e o atual (t_i) dividindo as frações correspondentes:

$$\begin{aligned} \frac{t_{i+1}}{t_i} &= \frac{\frac{x^{2i+3}}{(2i+3)!}}{\frac{x^{2i+1}}{(2i+1)!}} = \frac{x^{2i+3}}{(2i+3)!} \times \frac{(2i+1)!}{x^{2i+1}} = \frac{x^{2i+3}}{x^{2i+1}} \times \frac{(2i+1)!}{(2i+3)(2i+2)(2i+1)!} \\ &= x^{(2i+3)-(2i+1)} \times \frac{1}{(2i+3)(2i+2)} = \frac{x^2}{(2i+3)(2i+2)}. \end{aligned}$$

Desta razão resulta a relação de recorrência utilizada no algoritmo:

$$t_{i+1} = t_i \times \frac{x^2}{(2i+3)(2i+2)}.$$

Daqui resulta a necessidade de manter o numerador h e o denominador k separadamente. Aplicando a Lei da Recursividade Mútua (Lei de Fokkinga), decompõe-se a recorrência nas atualizações do estado:

- $h_{next} = h \cdot x^2$ (o numerador multiplica-se por x^2);
- $k_{next} = k \cdot (2i+3)(2i+2)$ (o denominador multiplica-se pelo polinómio quadrático).

Otimização por Diferenças Finitas (Cálculo de j e m) Para evitar multiplicações complexas dependentes do índice i no cálculo de $(2i+3)(2i+2)$, aplica-se o Cálculo de Diferenças Finitas. O fator de atualização do fatorial para o passo seguinte implica o polinómio:

$$P(n) = (2n+5)(2n+4) = 4n^2 + 18n + 20$$

(Nota: Substitui-se i por $n+1$, logo os fatores tornam-se $2(n+1)+3 = 2n+5$ e $2(n+1)+2 = 2n+4$).

Calculam-se as diferenças sucessivas para reduzir a avaliação polinomial a somas simples:

1. Primeira Diferença (m_n):

$$m_n = P(n+1) - P(n) = (4(n+1)^2 + 18(n+1) + 20) - (4n^2 + 18n + 20) = 8n + 22.$$

2. Segunda Diferença (Δm):

$$\Delta m = m_{n+1} - m_n = (8(n+1) + 22) - (8n + 22) = 8.$$

Visto que a segunda diferença é constante, justifica-se a introdução das variáveis auxiliares j (o valor acumulado do polinómio) e m (a primeira diferença), resultando nas atualizações lineares presentes no código:

$$j' = j + m \quad \text{e} \quad m' = m + 8.$$

Derivação dos Valores Iniciais (start): Para a iteração $n = 0$, o estado deve conter a soma atual e preparar o termo seguinte (devido à natureza *look-ahead* do ciclo, que calcula valores para a iteração $n + 1$):

- **Soma atual (s_0):** Corresponde ao primeiro termo da série ($i = 0$):

$$s_0 = \frac{x^{2(0)+1}}{(2(0)+1)!} = \frac{x^1}{1!} = x.$$

- **Próximo Numerador (h_0) e Denominador (k_0):** Correspondem ao termo para $i = 1$ (o termo que será somado na próxima execução do corpo do ciclo):

$$t_1 = \frac{x^{2(1)+1}}{(2(1)+1)!} = \frac{x^3}{3!} = \frac{x^3}{6}.$$

Logo, $h_0 = x^3$ e $k_0 = 6$.

- **Variáveis Auxiliares (j_0, m_0):** Calculadas pelas fórmulas de diferenças finitas deduzidas acima, para $n = 0$:

$$j_0 = P(0) = 4(0)^2 + 18(0) + 20 = 20.$$

$$m_0 = 8(0) + 22 = 22.$$

Este cálculo fundamenta a origem exata de todos os componentes do vetor inicial $[x, x^3, 6, 20, 22]$.

4. Invariante de correção

Define-se o invariante central que justifica a devolução das somas parciais corretas por parte da função *head*.

Invariante $I(n)$. Se *worker n* = $[s, h, k, j, m]$, então:

$$(I1) \quad s = \sum_{i=0}^n \frac{x^{2i+1}}{(2i+1)!} = S_n(x),$$

$$(I2) \quad \frac{h}{k} = \frac{x^{2n+3}}{(2n+3)!} \quad (\text{o termo seguinte a acrescentar}).$$

Note-se que (I1) é suficiente para a prova, uma vez que:

$$f x n = \text{head}(\text{worker } n) = s = S_n(x).$$

5. Prova por indução sobre n

Base ($n = 0$). Temos $\text{worker } 0 = \text{start } x = [x, x^3, 6, 20, 22]$. Logo:

$$s = x = \frac{x^1}{1!} = S_0(x),$$

pelo que (I1) se verifica.

Além disso:

$$\frac{h}{k} = \frac{x^3}{6} = \frac{x^3}{3!},$$

valor que coincide com o termo seguinte a S_0 . Logo, (I2) também se verifica.

Passo indutivo ($n \rightarrow n + 1$). Sob a hipótese de que $I(n)$ é verdadeiro para $\text{worker } n = [s, h, k, j, m]$, tem-se:

$$\text{worker}(n + 1) = \text{loop } x [s, h, k, j, m] = [s', h', k', j', m'].$$

Pelo código:

$$s' = s + \frac{h}{k}.$$

Com recurso a (I1) e (I2), obtém-se:

$$s' = S_n(x) + \frac{x^{2n+3}}{(2n+3)!} = S_{n+1}(x),$$

logo (I1) é válido para $n + 1$.

Para (I2), o programa atualiza $h' = x^2 h$, o que faz avançar o numerador do termo seguinte de x^{2n+3} para x^{2n+5} . Por construção dos componentes (k, j, m) , o valor k' passa do fatorial ímpar $(2n+3)!$ para $(2n+5)!$. Assim:

$$\frac{h'}{k'} = \frac{x^{2n+5}}{(2n+5)!},$$

ou seja, exatamente o termo seguinte a $S_{n+1}(x)$. Portanto, $I(n + 1)$ verifica-se.

Conclui-se por indução que $I(n)$ é válido para todo n . Consequentemente:

$$f x n = \text{head}(\text{worker } n) = S_n(x),$$

isto é, $f x n$ calcula a aproximação de $\sinh x$ por n iterações (somas parciais da série).

6. Mini-exemplo numérico: $x = 1$ (primeiros estados)

Para $x = 1$, tem-se $1^2 = 1$. Logo, h mantém-se em 1 com o arranque em $h = 1^3 = 1$. O denominador k (fatoriais ímpares) sofre as alterações principais.

Estado 0:

$$\text{worker } 0 = [1, 1, 6, 20, 22]$$

$$f 1 0 = s = 1 \quad (\text{ou seja, } 1 = 1/1!).$$

Estado 1:

$$s' = 1 + 1/6 = 7/6 \approx 1.166666\dots$$

$$\text{worker } 1 = [7/6, 1, 120, 42, 30]$$

Logo:

$$f\ 1\ 1 = 7/6 = 1 + 1/3!$$

Estado 2:

$$s'' = 7/6 + 1/120 = 141/120 = 47/40 = 1.175$$

$$\text{worker } 2 = [47/40, 1, 5040, 72, 38]$$

Logo:

$$f\ 1\ 2 = 47/40 = 1 + 1/3! + 1/5!$$

Conclusão

A função `worker` mantém um estado $[s, h, k, j, m]$ onde:

- s é a soma parcial já acumulada;
- $\frac{h}{k}$ é o próximo termo da série a adicionar;
- as atualizações de h e de k garantem a progressão para o termo seguinte sem recomputações dispendiosas.

Como $f\ x\ n = \text{head}(\text{worker}\ n)$, conclui-se que $f\ x\ n$ devolve a aproximação de $\sinh x$ por n iterações da série de Taylor.

Problema 3

Introdução: Streams e Processos Infinitos

Ao contrário das estruturas de dados finitas, os *Streams* modelam sequências infinitas de dados, fundamentais na modelação de processos reativos e fluxos contínuos. No contexto de Haskell, esta estrutura define-se pelo tipo indutivo:

```
data Stream a = Cons (a, Stream a) deriving Show
```

A semântica desta estrutura é ditada pela assinatura do functor $FX = A \times X$. O correspondente destrutor, ou estrutura, define-se por:

```
out (Cons (x, xs)) = (x, xs)
```

A construção de instâncias desta estrutura realiza-se via anamorfismos ($\ll \cdot \rr$), que permitem a expansão de um estado inicial num fluxo infinito através de um gene gerador g :

```
(\ g \) = Cons . (id \times (\ g \ )) . g
```

O presente problema foca-se na implementação de uma fusão justa (*fair_merge*). O objetivo é a garantia de que os elementos de dois fluxos de entrada sejam intercalados de forma estrita, o que previne fenómenos de inanição (*starvation*) e assegura a vivacidade do sistema.

Dedução da Lei de Recursividade Mútua (Dual)

A modelação da alternância estrita entre dois fluxos independentes sugere uma dependência mútua. Para a formalização desta dinâmica sem recurso a recursividade explícita, aplica-se a **Lei de Fokkinga (Dual)**, ou Lei da Recursividade Mútua para Anamorfismos.

O objetivo desta derivação consiste em determinar o gene g que satisfaz a definição de $\text{fair_merge}'$ como um anamorfismo. Partimos da premissa:

$$\text{fair_merge}' = \llbracket g \rrbracket$$

Considera-se a definição recursiva original fornecida no enunciado, onde se observa que as funções h e k dependem ciclicamente uma da outra para o processamento do elemento seguinte:

$$\begin{aligned} \text{fair_merge} &:: (\text{Stream } a, \text{Stream } a) + (\text{Stream } a, \text{Stream } a) \rightarrow \text{Stream } a \\ \text{fair_merge} &= [h, k] \text{ where} \\ h(\text{Cons}(x, xs), y) &= \text{Cons}(x, k(xs, y)) \\ k(x, \text{Cons}(y, ys)) &= \text{Cons}(y, h(x, ys)) \end{aligned}$$

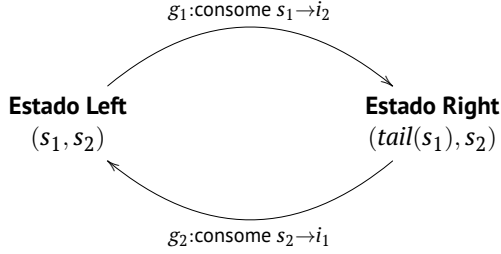
A derivação formal, baseada na propriedade universal dos anamorfismos e nas leis de fusão do coproduto do cálculo de programas, segue abaixo para provar que $[h, k] = \llbracket [g_1, g_2] \rrbracket$:

$$\begin{aligned} r &= \llbracket \text{gene} \rrbracket \\ &\equiv \{ r = [h, k] \text{ e } \text{gene} = [g_1, g_2] \} \\ [h, k] &= \llbracket [g_1, g_2] \rrbracket \\ &\equiv \{ \text{Universal - Ana (56)} \} \\ \text{out} \cdot [h, k] &= F[h, k] \cdot [g_1, g_2] \\ &\equiv \{ \text{Fusão-+ (21)} \} \\ [\text{out} \cdot h, \text{out} \cdot k] &= [F[h, k] \cdot g_1, F[h, k] \cdot g_2] \\ &\equiv \{ \text{Eq-+ (28)} \} \\ &\quad \left\{ \begin{array}{l} \text{out} \cdot h = F[h, k] \cdot g_1 \\ \text{out} \cdot k = F[h, k] \cdot g_2 \end{array} \right. \\ &\equiv \{ F(\text{either } h \text{ } k) = \text{id} \times (\text{either } h \text{ } k) \} \\ &\quad \left\{ \begin{array}{l} \text{out} \cdot h = (\text{id} \times [h, k]) \cdot g_1 \\ \text{out} \cdot k = (\text{id} \times [h, k]) \cdot g_2 \end{array} \right. \\ &\square \end{aligned}$$

Análise do Sistema e Estratégia de Implementação

O sistema de equações resultante estabelece as condições de correção para o gene do anamorfismo. As igualdades obtidas indicam que cada componente do gene (g_1 e g_2) deve produzir um par contendo o valor de saída imediata e o estado necessário para a iteração seguinte.

Fundamentalmente, este resultado demonstra que, para manter a alternância estrita, o gene deve realizar uma "troca de prioridade": sempre que a componente g_1 (vinda de h) consome um elemento, o estado sucessor deve ser injetado de forma a que a componente g_2 (vinda de k) seja a próxima a ser executada. Este comportamento é modelável através de uma máquina de estados finita:



Análise do Fluxo de Dados: Nesta estrutura, as variáveis representam o estado dos fluxos em cada passo:

- No **Estado Left**, a função g_1 extraí a cabeça de s_1 e preserva s_2 intacto, passando o par resultante para o lado direito através da injeção i_2 .
- No **Estado Right**, a prioridade inverte-se: g_2 consome a cabeça de s_2 e devolve o controlo ao lado esquerdo via i_1 .

Esta alternância contínua impede a inanição (*starvation*) de qualquer um dos fluxos, resultando numa fusão perfeitamente equilibrada.

Desta forma, os diagramas categoriais seguintes detalham a composição interna de cada componente do gene. Estes diagramas seguem rigorosamente as definições de g_1 e g_2 e evidenciam a desestruturação do estado para a alternância de prioridade.

Gene g_1 (Processamento de s_1): Este componente extraí a cabeça do primeiro fluxo e encapsula o estado sucessor com a injeção i_2 . Este passo transfere a prioridade para o segundo fluxo na iteração seguinte.

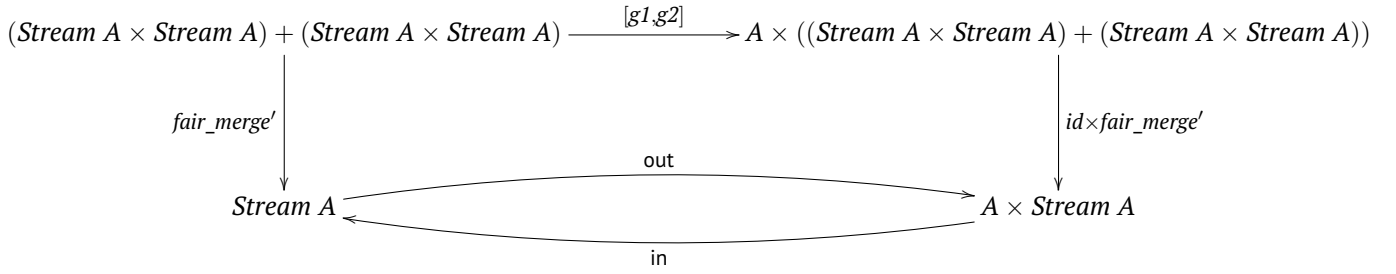
$$\begin{array}{ccc}
 Stream A \times Stream A & \xrightarrow{\langle \pi_1 \cdot out \cdot \pi_1, \langle \pi_2 \cdot out \cdot \pi_1, \pi_2 \rangle \rangle} & A \times (Stream A \times Stream A) \\
 & \searrow g_1 & \downarrow id \times i_2 \\
 & & A \times ((Stream A \times Stream A) + (Stream A \times Stream A))
 \end{array}$$

Gene g_2 (Processamento de s_2): Simetricamente, este componente consome o elemento do segundo fluxo e utiliza a injeção i_1 . Desta forma, devolve a prioridade ao primeiro fluxo.

$$\begin{array}{ccc}
 Stream A \times Stream A & \xrightarrow{\langle \pi_1 \cdot out \cdot \pi_2, \langle \pi_1, \pi_2 \cdot out \cdot \pi_2 \rangle \rangle} & A \times (Stream A \times Stream A) \\
 & \searrow g_2 & \downarrow id \times i_1 \\
 & & A \times ((Stream A \times Stream A) + (Stream A \times Stream A))
 \end{array}$$

O Diagrama do Anamorfismo

O processo pode ser visualizado através do seguinte diagrama comutativo. O gene $g = [g_1, g_2]$ mapeia o estado atual (uma soma de pares de streams) no par (valor, próximo estado), onde o functor $Ff = id \times f$ assegura a continuidade da expansão infinita:



Este diagrama explica a semântica estrutural: o anamorfismo "desenrola" o estado inicial aplicando o gene sucessivamente. A "justiça" da fusão não reside na estrutura do anamorfismo em si, mas na definição interna de g_1 e g_2 , que forçam a alternância entre as injeções i_1 e i_2 do tipo soma.

Implementação em Haskell

A tradução deste formalismo para código Haskell resulta na seguinte definição *point-free*, onde a separação de responsabilidades é total: o combinador $\langle \cdot \rangle$ gera a recursividade infinita, enquanto o gene g gera a lógica de intercalação.

```

fair_merge' :: (Stream a, Stream a) + (Stream a, Stream a) → Stream a
fair_merge' = ⟨ g ⟩
where
  g = [g1, g2]
  g1 = (id × i2) ∙ ⟨ π1 ∙ out ∙ π1, ⟨ π2 ∙ out ∙ π1, π2 ⟩ ⟩
  g2 = (id × i1) ∙ ⟨ π1 ∙ out ∙ π2, ⟨ π1, π2 ∙ out ∙ π2 ⟩ ⟩
  
```

Validação de Resultados e Simulação

Para validar a implementação do $fair_merge'$, utilizam-se fluxos aritméticos gerados via anamorfismo. Define-se a função auxiliar $nextS$ para calcular o par (valor, próximo estado), o que evita conflitos de formatação:

```

nextS n = (n, n + 4)
s1 = ⟨ nextS ⟩ 1 -- [1, 5, 9, 13, ...]
s2 = ⟨ nextS ⟩ 2 -- [2, 6, 10, 14, ...]
s3 = ⟨ nextS ⟩ 3 -- [3, 7, 11, 15, ...]
s4 = ⟨ nextS ⟩ 4 -- [4, 8, 12, 16, ...]
takeS 0 _ = []
takeS n (Cons (x, xs)) = x : takeS (n - 1) xs
  
```

A função $takeS$ extrai os primeiros n elementos de um *Stream*, permitindo a observação finita dos resultados.

A simulação adota uma estrutura em cascata: fundem-se dois pares de fluxos e, posteriormente, combinam-se os resultados dessas operações. Esta composição verifica a robustez da máquina de estados perante fluxos aninhados:

```

f1 = takeS 10 (fair_merge (i1 (fair_merge (i1 (s1, s3)), fair_merge (i1 (s2, s4))))) )
f2 = takeS 10 (fair_merge' (i1 (fair_merge' (i1 (s1, s3)), fair_merge' (i1 (s2, s4))))) )
  
```

Análise do Resultado da Simulação:

Ao executar $f1$ ou $f2$, obtém-se, em ambos os casos, a sequência: [1, 2, 3, 4, 5, 6, 7, 8, 9, 10]

Este resultado comprova a correção do operador através da seguinte lógica de junção:

- A fusão da esquerda combina $s1$ e $s3$, intercalando os seus elementos para formar a sequência de ímpares: $[1, 3, 5, 7, 9, \dots]$.
- A fusão da direita combina $s2$ e $s4$, intercalando os seus elementos para formar a sequência de pares: $[2, 4, 6, 8, 10, \dots]$.
- A fusão final intercala estas duas sequências (ímpares e pares), o que resulta na sequência numérica contínua.

A igualdade verificada entre $f1$ e $f2$ confirma que a implementação baseada no gene respeita a semântica de fusão justa, garantindo que nenhum fluxo é preferido na estrutura de cascata.

Problema 4

Introdução e Modelação

O problema proposto consiste na modelação de um sistema de comunicação falível, um telegrafista com uma avaria intermitente, através de um catamorfismo probabilístico. O objetivo é calcular a distribuição de probabilidades das mensagens recebidas dada a frase original "Vamos atacar hoje".

O comportamento do sistema caracteriza-se por dois tipos de falha independente:

1. **Falha na transmissão de palavras:** Cada palavra tem uma probabilidade de 5% de se perder durante a transmissão.
2. **Falha na terminação:** O código de fim de mensagem (*stop*) deve ser enviado no final, mas falha em 10% das vezes.

Para modelar este comportamento, recorre-se a uma função de ordem superior, *pcataList*, que generaliza o conceito de *fold* para o contexto do mónade de probabilidades *Dist*.

1. O Catamorfismo Probabilístico (*pcataList*)

O combinador *pcataList* define-se como um catamorfismo sobre listas cujo gene produz resultados probabilísticos. Matematicamente, enquanto um catamorfismo de listas tradicional tem o tipo $(1 + A \times B \rightarrow B) \rightarrow [A] \rightarrow B$, a versão probabilística opera no mónade *Dist*, tendo o tipo $(1 + A \times B \rightarrow \text{Dist } B) \rightarrow [A] \rightarrow \text{Dist } B$.

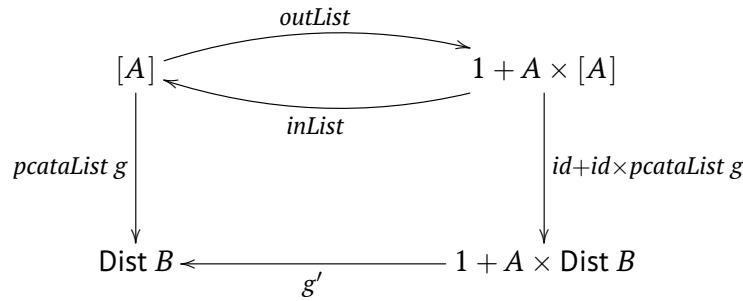
A implementação reflete a estrutura algébrica da lista (soma de produtos), tratando explicitamente o caso vazio (injeção i_1) e o caso não-vazio (injeção i_2):

```

pcataList :: ((()) + (a, b) → Dist b) → [a] → Dist b
pcataList g [] = g (i1 ())
pcataList g (a : as) = do
  b ← pcataList g as
  g (i2 (a, b))

```

O funcionamento estrutural deste combinador visualiza-se através do seguinte diagrama comutativo:



Neste esquema, a seta inferior g' denota a aplicação monádica do gene. Ao contrário de um catamorfismo determinístico, a recursão devolve uma distribuição ($\text{Dist } B$). Consequentemente, g' incorpora a lógica de sequenciação (o operador *bind* implícito na notação *do*), extraíndo o resultado da cauda antes da aplicação efetiva de g .

O processo de avaliação detalhado ocorre da seguinte forma:

- **Caso Base ([]):** O catamorfismo atinge o fim da lista e invoca o gene com $i_1()$, permitindo ao gene decidir como terminar a estrutura (neste caso, decidindo se envia "stop").
- **Passo Recursivo ($a : as$):**
 1. Avalia-se primeiramente a cauda da lista (as), o que resulta numa distribuição de possíveis caudas processadas (b).
 2. Para cada resultado possível dessa distribuição, aplica-se o gene à cabeça atual (a) emparelhada com esse resultado ($i_2(a, b)$).
 3. O mónade Dist encarrega-se de combinar as probabilidades resultantes (multiplicação de probabilidades para eventos independentes).

2. Definição do Gene Probabilístico

O gene captura o comportamento específico da falha. Este recebe um co-produto que representa os dois estados possíveis da travessia da lista. A função *gene* define-se pelo combinador $[\cdot, \cdot]$, separando a lógica de terminação da lógica de transmissão:

```

gene :: () + (String, [String]) → Dist [String]
gene = [base, step]
where
  base :: () → Dist [String]
  base () = D [(["stop"], 0.90), ([], 0.10)]
  step :: (String, [String]) → Dist [String]
  step (w, ws) = D [(ws, 0.05), (w : ws, 0.95)]

```

A lógica de decisão pode ser visualizada na árvore de decisão probabilística (Figura 1).

Assim, a função de transmissão final obtém-se pela aplicação do catamorfismo com este gene:

```

transmitir :: [String] → Dist [String]
transmitir = pcataList gene

```

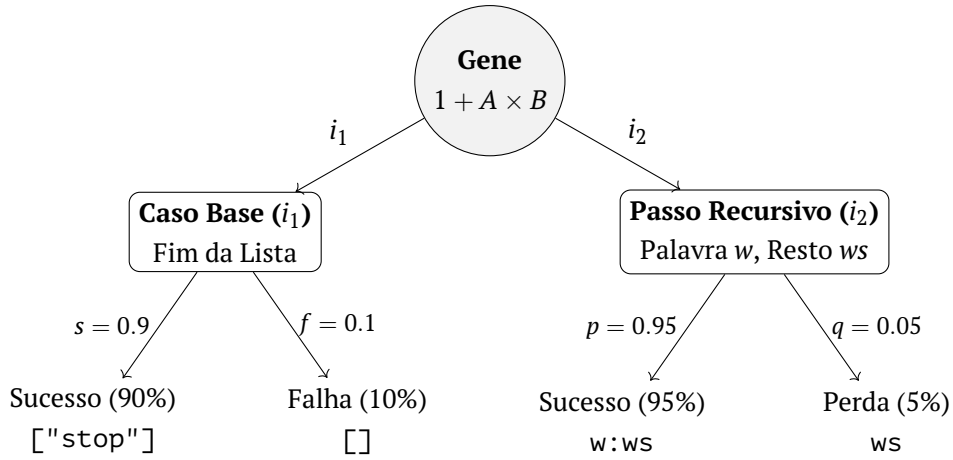


Figure 1: Diagrama de decisão do Gene: bifurcação entre terminação (i_1) e processamento (i_2).

3. Cálculo de Probabilidades

Considere-se a mensagem de entrada $M = ["Vamos", "atacar", "hoje"]$. Definem-se as probabilidades elementares: $p = 0.95$ (manter), $q = 0.05$ (perder), $s = 0.90$ (stop), $f = 0.10$ (sem stop).

Dado que o mónade assegura a independência estatística, calculam-se analiticamente os cenários:

Cenário 1: Perder "atacar" (["Vamos", "hoje", "stop"]). Eventos: "Vamos" segue (p), "atacar" falha (q), "hoje" segue (p), "stop" segue (s).

$$P_1 = p \cdot q \cdot p \cdot s = 0.95^2 \cdot 0.05 \cdot 0.90 \approx 4.06\%$$

Cenário 2: Faltar o "stop" (["Vamos", "atacar", "hoje"]). Eventos: Três palavras seguem (p^3), "stop" falha (f).

$$P_2 = p^3 \cdot f = 0.95^3 \cdot 0.10 \approx 8.57\%$$

Cenário 3: Perfeita (["Vamos", "atacar", "hoje", "stop"]). Eventos: Tudo segue com sucesso.

$$P_3 = p^3 \cdot s = 0.95^3 \cdot 0.90 \approx 77.16\%$$

4. Validação Experimental

A validação dos cálculos analíticos é realizada através da execução direta da função *transmitir* com a frase do enunciado.

```

msg :: [String]
msg = words "Vamos atacar hoje"

```

A invocação de *transmitir msg* no interpretador gera a distribuição de todas as mensagens possíveis. O resultado abaixo (formatado automaticamente pela biblioteca *Probability*) apresenta os cenários por ordem decrescente de probabilidade:

```

*Problema4> transmitir msg
["Vamos", "atacar", "hoje", "stop"] 77.2%
    ["Vamos", "atacar", "hoje"]      8.6%
    ["atacar", "hoje", "stop"]       4.1%

```

["Vamos", "atacar", "stop"]	4.1%
["Vamos", "hoje", "stop"]	4.1%
["Vamos", "atacar"]	0.5%
...	

Análise dos Resultados: Ao comparar este *output* com os valores teóricos calculados na secção anterior, confirma-se a correção do modelo:

1. O cenário de **transmissão perfeita** (["Vamos", "atacar", "hoje", "stop"]) surge com 77.2%, correspondendo ao valor calculado $P_3 \approx 77.16\%$.
2. O cenário onde **falta o "stop"** (["Vamos", "atacar", "hoje"]) surge com 8.6%, correspondendo a $P_2 \approx 8.57\%$.
3. O cenário onde se **perde a palavra "atacar"** (["Vamos", "hoje", "stop"]) surge com 4.1%, correspondendo a $P_1 \approx 4.06\%$.

Nota: A ligeira diferença deve-se apenas ao arredondamento para uma casa decimal na visualização do interpretador.

Index

`\LaTeX`, 5, 6
 `bibtex`, 6
 `lhs2TeX`, 5, 6
 `makeindex`, 6
 `pdflatex`, 5
 `xymatrix`, 7

Combinador “pointfree”
 `ana`, 3, 19
 Listas, 11, 12
 `cata`
 Naturais, 7
 `either`, 3, 4, 9, 10, 19, 21, 23
 `split`, 6, 20, 21

Cálculo de Programas, 1, 4
 Material Pedagógico, 5
 `List.hs`, 4

Docker, 5
 container, 5, 6

Functor, 3, 7, 8, 22, 23

Função
 π_1 , 7, 20, 21
 π_2 , 7, 14, 20, 21
 `map`, 14

Haskell, 1, 5, 6
 Biblioteca
 PFP, 8
 Probability, 7, 8
 interpretador
 GHCi, 5–7
 Lazy evaluation, 3
 Literate Haskell, 5

Números naturais (\mathbb{N}), 7

Programação
 literária, 5, 6

References

- [1] M. Erwig and S. Kollmansberger. Functional pearls: Probabilistic functional programming in haskell. *J. Funct. Program.*, 16:21–34, January 2006.
- [2] D.E. Knuth. *Literate Programming*. CSLI Lecture Notes Number 27. Stanford University Center for the Study of Language and Information, Stanford, CA, USA, 1992.
- [3] Chris Okasaki. Breadth-first numbering: lessons from a small exercise in algorithm design. In Martin Odersky and Philip Wadler, editors, *Proceedings of the Fifth ACM SIGPLAN International Conference on Functional Programming (ICFP '00), Montreal, Canada, September 18-21, 2000*, pages 131–136. ACM, 2000.
- [4] J.N. Oliveira. Program Design by Calculation, 2024. Draft of textbook in preparation. First version: 1998. Current version: Sep. 2024. Informatics Department, University of Minho ([pdf](#)).